

测定介质中的声速

马江岩

2021 年 10 月 31 日

摘要

如果介质中的一个平面状声源沿与平面垂直的方向做简谐振动, 就会形成一系列沿该方向的纵波. 若这一纵波遇到一个垂直于其传播方向的刚性平面, 就会反射回来, 与入射声波发生干涉而形成驻波. 利用这一驻波产生的物理现象, 我们就可以测定介质中的声速. 例如, 在空气中这一驻波会产生振幅随位置而变化的声压, 我们可以利用声压的振幅和相位来确定空气中的声速; 在水中这一驻波会使水不同位置的折射率发生不同的变化, 我们将水槽看作光栅, 便可以利用光的光栅衍射现象测定水中的声速.

1 极值法测定空气中的声速

若空气中声源发出的一个沿 x 方向传播的、振幅为 a 的纵波, 在传播方向上遇到一个刚性平面而反射, 就会与入射波发生干涉而形成驻波. 在驻波场中坐标为 x 的空气质点, 其位移可表示为

$$\zeta = \frac{a \sin[k(l-x)]}{\sin kl} \cos \omega t,$$

其中 $k = \frac{2\pi}{\lambda} = \frac{\omega}{v}$ 为波数, l 为声源与刚性平面之间的距离. 这一驻波无法被我们直接观察到, 但它会影响空气中的压强, 产生声压. 将上式代入

$$p = -\rho_0 v^2 \frac{\partial \zeta}{\partial x}, \quad (1)$$

其中 ρ_0 为空气的静态密度. 于是声压驻波可表示为

$$p = \rho_0 \omega v a \frac{\sin[k(l-x) + \frac{\pi}{2}]}{\sin kl} \cos \omega t.$$

在刚性平面处, 声压振幅为

$$|p(l)| = \frac{\rho_0 \omega v a}{|\sin kl|},$$

其周期为 $\frac{\lambda}{2}$, 即当 l 改变 $\frac{\lambda}{2}$ 时, $|p(l)|$ 复原. 故我们可以根据这一现象测量声波的半波长, 再通过

$$v = f\lambda$$

求出空气中的声速.

首先我们按图 1 接好线路, 调节两换能器端面平行, 然后锁定.

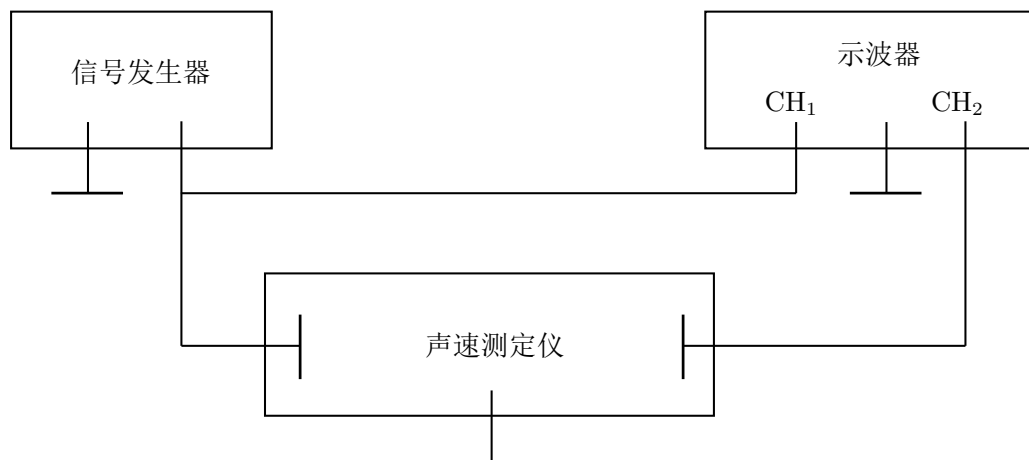


图 1: 实验装置接线图.

为了提高测量的灵敏度, 我们希望正弦波有最大振幅, 即换能器工作在谐振状态. 改变信号发生器的频率, 并略微改变接收端的位置, 使正弦波有最大振幅, 此时信号的频率即换能器的谐振频率 f_0 . 实验中 $f_0 = 40.10 \text{ kHz}$, 正弦信号电压峰峰值为 15 V_{PP} , 室温为 $\theta = 25.1^\circ \text{C}$.

将两换能器的间距 l 从大约 30 cm 开始, 缓慢地增加, 记录下荧光屏上依次出现正弦波振幅极大值时标尺上的示数 x_1, x_2, \dots, x_n 及接收端电压峰峰值 U_{PP} , 如表 1 所示.

表 1: 极值法测定空气中声速实验数据, l 依次增大.

i	0	1	2	3	4	5	6	7	8	9
$x(\text{mm})$	31.472	35.865	40.112	44.530	49.101	53.172	58.079	62.110	66.573	71.020
$U_{\text{PP}}(\text{V})$	64.0	56.0	50.0	47.0	43.0	40.0	38.0	36.0	32.0	30.0

注意在移动换能器接收端的时候要始终向一个方向移动, 以减少回程差的影响. 若实验过程中不得不将换能器向反方向移动, 应至少先反向移动一个周期, 再转回原来的位置.

然后缓慢地减小间距 l , 记录下依次出现正弦波振幅极大值时标尺上的示数 x'_1, x'_2, \dots, x'_n 及接收端电压峰峰值 U_{PP} , 如表 2 所示.

表 2: 极值法测定空气中声速实验数据, l 依次减小.

i	0	1	2	3	4	5	6	7	8	9
$x'(\text{mm})$	31.210	35.456	39.910	44.371	48.996	53.128	57.510	61.885	66.857	71.234
$U_{PP}(\text{V})$	65.0	56.0	52.0	48.0	44.0	40.0	37.0	35.0	31.0	29.0

我们可以用逐差法测出相邻两个波腹间的间距 $\overline{\Delta x}$, 公式如下:

$$\overline{\Delta x} = \frac{1}{5} \times \frac{1}{5} \sum_{i=0}^5 (x_{i+5} - x_i).$$

将上面的两组数据分别代入上式, 得到两组波腹间距分别为

$$\overline{\Delta x}_1 = 4.395 \text{ mm},$$

$$\overline{\Delta x}_2 = 4.427 \text{ mm}.$$

将它们分别乘以 2 即可得到两组数据测定的声波波长, 它们为 $\lambda_1 = 8.790 \text{ mm}$, $\lambda_2 = 8.854 \text{ mm}$. 代入 $v = \lambda f$, 即可得到两组声速的测量值,

$$v_1 = 352.5 \text{ m/s},$$

$$v_2 = 355.0 \text{ m/s}.$$

下面我们进行误差分析. 记

$$a_i := x_{i+5} - x_i, i = 0, 1, 2, 3, 4$$

为逐差法相减得到的 5 个数据, 将它们除以 2.5 即为这 5 组数据分别测出的声波波长. a_i 依次为 21.700, 22.214, 21.998, 22.043, 21.919, 故所测波长平均值的不确定度为

$$\sigma_{\lambda_1} = \sqrt{\frac{\sum_{i=0}^4 \left(\frac{a_i}{2.5} - \frac{\bar{a}}{2.5} \right)^2}{5 \times (5 - 1)}} = 0.034 \text{ mm}.$$

将测量仪器按游标卡尺看待, 其允差为 $e = 0.004 \text{ mm}$, 故波长的平均值的不确定度为

$$\sigma_{\lambda_1} = \sqrt{\sigma_{\lambda_1}^2 + \frac{e^2}{3}} = 0.034 \text{ mm}.$$

本实验所用的信号发生器的频率误差为 50 ppm, 一个 ppm 为百万分之一, 结合 $f = 40.10 \text{ kHz}$ 可以得到频率的不确定度为

$$\sigma_f = 40.10 \times 50 \times 10^{-6} \text{ kHz} = 0.002 \text{ kHz}.$$

故由 $v = \lambda f$, 得到第一组数据声速的不确定度为

$$\sigma_{v_1} = \sqrt{(\lambda_1 \sigma_f)^2 + (f \sigma_{\lambda_1})^2} = 1.4 \text{ m/s}.$$

同理, 记

$$b_i := x'_{i+5} - x'_i, i = 0, 1, 2, 3, 4$$

为逐差法相减得到的 5 个数据, 将它们除以 2.5 即为这 5 组数据分别测出的声波波长. b_i 依次为 21.918, 22.054, 21.975, 22.486, 22.238, 故所测波长平均值的不确定度为

$$\sigma_{\bar{\lambda}_2} = \sqrt{\frac{\sum_{i=0}^4 \left(\frac{b_i}{2.5} - \frac{\bar{b}}{2.5} \right)^2}{5 \times (5 - 1)}} = 0.041 \text{ mm}.$$

波长的平均值的不确定度为

$$\sigma_{\lambda_2} = \sqrt{\sigma_{\bar{\lambda}_2}^2 + \frac{e^2}{3}} = 0.041 \text{ mm}.$$

得到第二组数据声速的不确定度为

$$\sigma_{v_2} = \sqrt{(\lambda_2 \sigma_f)^2 + (f \sigma_{\lambda_2})^2} = 1.7 \text{ m/s}.$$

最终, 用极值法测定声速得到的两组结果分别为

$$v_1 = (352.5 \pm 1.4) \text{ m/s},$$

$$v_2 = (355.0 \pm 1.7) \text{ m/s}.$$

可以看出, 用极值法测出的声速的误差和不确定度都是比较大的, 其原因我将在分析与讨论一节中给出解释.

我们还可以画出接收端电压峰峰值 U_{PP} 随距离 x 的变化曲线, 如图 2 所示. 由图我们很容易猜测 U_{PP} 随 x 以负指数函数的规律变化, 即 $U_{PP} = Ae^{-bx}$. 利用软件进行拟合, 结果为

$$U_{PP1}(\text{V}) = 110.4 \cdot e^{-0.0187x(\text{mm})},$$

$$U_{PP2}(\text{V}) = 116.8 \cdot e^{-0.0199x(\text{mm})}.$$

可以猜测, U_{PP} 随 x 以指数规律递减.

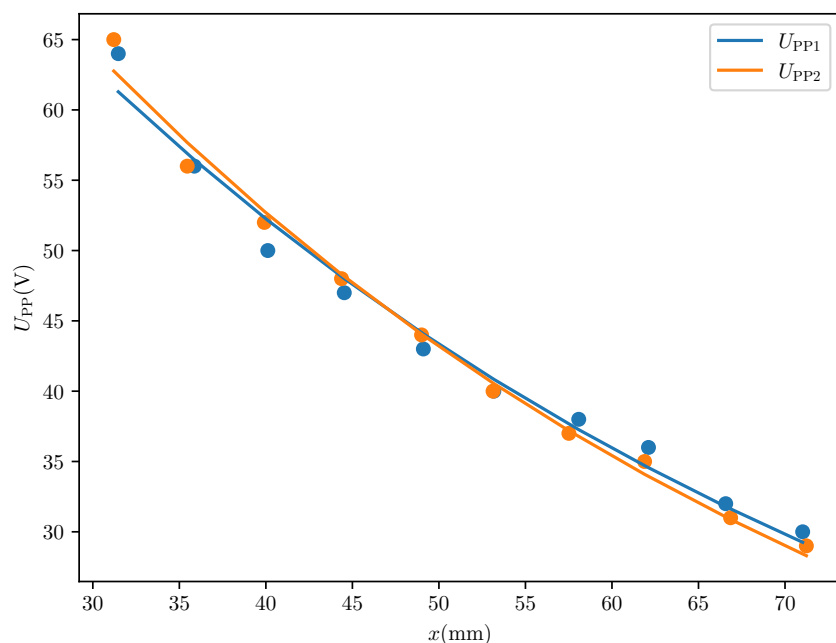


图 2: 接收端电压峰峰值 U_{PP} 随间距 x 的变化规律.

2 相位法测定空气中的声速

设声源发射的平面行波 (用空气质点的位移来表示) 为

$$\zeta = a \cos(\omega t - kx).$$

由 (1) 式有

$$p(0) = -\rho_0 v \omega a \sin \omega t,$$

$$p(l) = -\rho_0 v \omega a \sin(\omega t - kl),$$

即 $p(l)$ 的相位比 $p(0)$ 落后 kl . 分别将声源和接收器两处的电压信号接示波器的两个通道 CH₁ 和 CH₂, 并选择 X-Y 显示模式, 将会在荧光屏上看到李萨如图形. 随着反射面位置的变化, 图形在椭圆与直线间周期地变化. 当 l 的改变量为一个波长 λ 时, 图形便恢复原状. 根据这一原理, 便可测出声波波长 λ .

仍按图 1 接好线路, 选择 X-Y 显示模式. 将两换能器的间距 l 从大约 30 cm 开始, 缓慢地增加, 记录下荧光屏上依次出现相同直线时标尺上的示数 x_1, x_2, \dots, x_n , 如表 3 所示.

注意在移动换能器接收端的时候要始终向一个方向移动, 以减少回程差的影响. 若实验过程中不得不将换能器向反方向移动, 应至少先反向移动一个周期, 再转回原来的位置.

表 3: 相位法测定空气中声速实验数据, l 依次增大.

i	0	1	2	3	4	5	6	7	8	9
$x(\text{mm})$	31.219	40.035	48.846	57.569	66.329	75.034	83.587	92.292	101.099	109.632

然后缓慢地减小间距 l , 记录下依次出现相同直线时标尺上的示数 x'_1, x'_2, \dots, x'_n , 如表 4 所示.

表 4: 相位法测定空气中声速实验数据, l 依次减小.

i	0	1	2	3	4	5	6	7	8	9
$x'(\text{mm})$	31.196	40.011	48.781	57.541	66.358	75.033	83.571	92.300	101.029	109.673

由于李萨如图形随 x 变换的周期为一个波长 λ , 故我们可以利用最小二乘法拟合直线, 直线的斜率就是声波的波长 λ .

拟合后的直线如图 3 所示.

设拟合直线为 $x = ki + b$. 最小二乘法的斜率公式为

$$k = \frac{\sum_{k=0}^9 (i_k - \bar{i})(x_k - \bar{x})}{\sum_{k=0}^9 (i_k - \bar{i})^2}.$$

分别将两组数据代入上式, 解得

$$\lambda_3 = 8.710 \text{ mm},$$

$$\lambda_4 = 8.714 \text{ mm}.$$

再由 $v = \lambda f$, f 仍与上一节相同, 解得

$$v_3 = 349.3 \text{ m/s},$$

$$v_4 = 349.4 \text{ m/s}.$$

下面进行误差分析. 最小二乘法斜率的不确定度为

$$\sigma_k = \frac{\sigma}{\sqrt{\sum_{k=0}^9 (i_k - \bar{i})^2}}. \quad (2)$$

对第一组数据, x_i 的剩余方差为

$$\sigma = \sqrt{\frac{\sum_{k=0}^9 (x_i - b_1 - k_1 i_k)^2}{n - 2}} = 0.10 \text{ mm}.$$

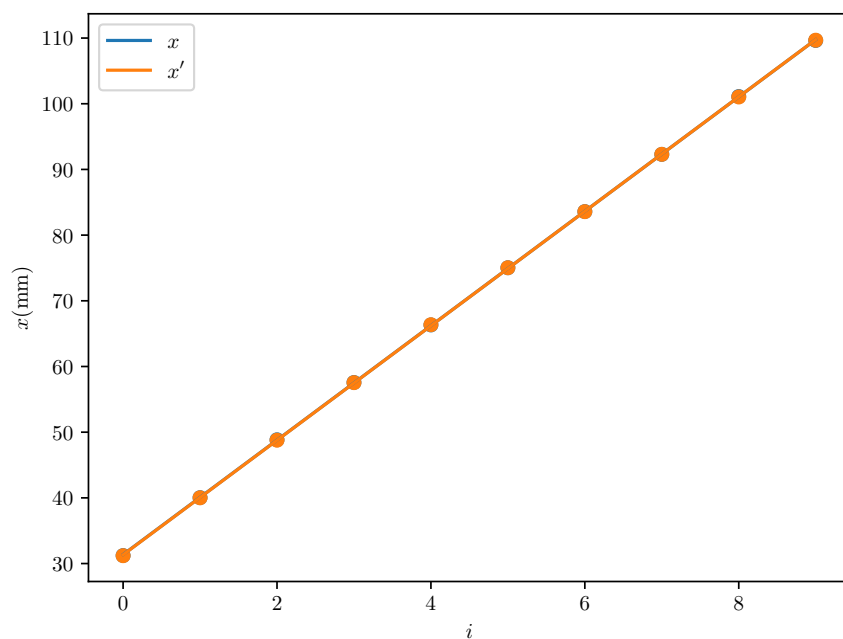


图 3: 相位法测空气中的声速的拟合直线. 图中两条直线几乎完全重合.

代入式 (2), 得到

$$\sigma_{\lambda_3} = 0.011 \text{ mm}.$$

本实验所用的信号发生器的频率误差为 50 ppm, 一个 ppm 为百万分之一, 结合 $f = 40.10 \text{ kHz}$ 可以得到频率的不确定度为

$$\sigma_f = 40.10 \times 50 \times 10^{-6} \text{ kHz} = 0.002 \text{ kHz}.$$

故由 $v = \lambda f$, 得到第一组数据声速的不确定度为

$$\sigma_{v_3} = \sqrt{(\lambda_3 \sigma_f)^2 + (f \sigma_{\lambda_3})^2} = 0.4 \text{ m/s}.$$

同理, 对第二组数据, x'_i 的剩余方差为

$$\sigma' = \sqrt{\frac{\sum_{k=0}^9 (x'_i - b_2 - k_2 i_k)^2}{n - 2}} = 0.10 \text{ mm}.$$

代入式 (2), 得到

$$\sigma_{\lambda_4} = 0.011 \text{ mm}.$$

故由 $v = \lambda f$, 得到第二组数据声速的不确定度为

$$\sigma_{v_4} = \sqrt{(\lambda_4 \sigma_f)^2 + (f \sigma_{\lambda_4})^2} = 0.4 \text{ m/s}.$$

综上, 相位法测定空气中声速的两组结果为

$$v_3 = (349.3 \pm 0.4) \text{ m/s},$$

$$v_4 = (349.4 \pm 0.4) \text{ m/s}.$$

3 由气体参量计算出空气中声速

通过声波在理想气体中传播速度与气体状态参量的关系, 也可以计算出声速. 令 θ 为以摄氏温度计量的气体温度, $T_0 = 273.15 \text{ K}$, 同时考虑空气中水蒸气的影响, 可以证明空气中声速的公式为

$$v(\text{m/s}) = 331.45 \sqrt{\left(1 + \frac{\theta}{T_0}\right) \left(1 + \frac{0.3192 p_w}{p}\right)}, \quad (3)$$

其中 p_w 为水蒸气的分压强, p 为大气压强. 而 $p_w = p_s H$, 其中 p_s 为测量温度下空气中水蒸气的饱和蒸气压, 可通过查表得出, H 为相对湿度, 可从干湿球温度计上读出.

实验条件下测出的相关数据如表 5 所示.

表 5: 实验条件下的相关气体参量数据.

	$\theta(^{\circ}\text{C})$	$p_s(\text{Pa})$	$H(\%)$	$p(\text{mmHg})$
最小分度	1	/	2	0.05
数据	25.1	3187.0	60.5	785.20

其中 θ 是室温, H 是相对湿度, p 是大气压强, p_s 是查表得到的饱和蒸气压. 由于表中没有 25.1°C 时的饱和蒸气压, 我的数据是用 25°C 和 26°C 时的饱和蒸气压线性插值得到的.

将 p 的单位换为 Pa :

$$p = 785.20 \text{ mmHg} \approx 1.047 \times 10^5 \text{ Pa},$$

同时算出 p_w :

$$p_w = p_s H = 1928.135 \text{ Pa}.$$

将上述数据代入 (3) 式, 得到

$$v_5 = 347.4 \text{ m/s}.$$

下面进行误差分析. 取最小分度值为不确定度, 即 $\sigma_\theta = 1^\circ\text{C}$, $\sigma_{p_w} = 0.02 \times 3187.0 \text{ Pa}$, $\sigma_p = 0.05 \times 133.3224 \text{ Pa}$ (因为 $1 \text{ mmHg} = 133.3224 \text{ Pa}$). 由相对不确定度的计算公式,

$$\left(\frac{\sigma_v}{v}\right)^2 = \frac{1}{4} \left(\frac{\sigma_\theta}{T_0 + \theta}\right)^2 + \frac{1}{4} \frac{\left(\frac{0.3192\sigma_{p_w}}{p}\right)^2 + \left(\frac{0.3192p_w\sigma_p}{p^2}\right)^2}{\left(1 + \frac{0.3192p_w}{p}\right)^2}.$$

代入数据, 解得

$$\sigma_{v_5} = 0.6 \text{ m/s}.$$

故所测结果为

$$v_5 = (347.4 \pm 0.6) \text{ m/s}.$$

4 光声光栅法测定水中声速

超声波作为一种纵波在媒质中传播时, 其声压使媒质密度产生周期性变化, 则使其折射率呈周期性改变, 形成疏密波. 当一束光射入这种媒质时, 就会因这种折射率的周期性变化而发生衍射, 即产生声光效应. 现有一准直激光束沿垂直于超声波传播方向通过声场, 设光波波长为 λ , 光束直径为 D , 超声波波长为 Λ , 声束宽度 (光在媒质中的传播距离, 即声光相互作用范围) 为 l , 当 $D > \Lambda$, 且 $\lambda l < \Lambda^2$ 时, 光束将发生 Ramann-Nath 衍射, 该现象相当于一个相位型光栅而引起的光束衍射, 故称这一作用为超声光栅.

实验中, 我们所用的激光的波长为 $\lambda = 633 \text{ nm}$, 水温 $\theta_w = 27.0^\circ\text{C}$, 接收屏到水槽中心的距离 $L = 591 \text{ cm}$. 让超声波发生器在水槽中产生超声光栅, 让激光发出的光束通过透镜组后形成平行光, 再打到后面的接收屏上. 当超声波的频率适宜时, 接收屏上便会显示出衍射光斑. 为减少误差, 我们调整超声波频率使得屏上的光斑不少于 6 个, 测量最左端至最右端的光斑的距离, 除以间距总数, 即得到光斑的间距 $\overline{\Delta x}$. 由夫琅和费衍射公式,

$$\sin \frac{\overline{\Delta x}}{L} = \frac{\lambda}{\Lambda},$$

代入 $v = f\Lambda$, 整理得

$$f = \frac{v}{\lambda} \sin \frac{\overline{\Delta x}}{L},$$

故我们可以通过最小二乘法来求声速. 实验所测数据如表 6 所示.

拟合直线如图 4 所示.

拟合直线的斜率即为所测水中声速, 为

$$v = 1495.0 \text{ m/s}.$$

表 6: 光声光栅法测定水中声速的实验数据.

$f(\text{MHz})$	9.50	10.00	10.50	11.00	11.50	12.00
$x(\text{cm})$	2.38	2.52	2.66	2.77	2.89	3.01
$\frac{1}{\lambda} \sin \frac{\Delta x}{L} (\mu\text{m}^{-1})$	0.0064	0.0067	0.0071	0.0074	0.0077	0.0080

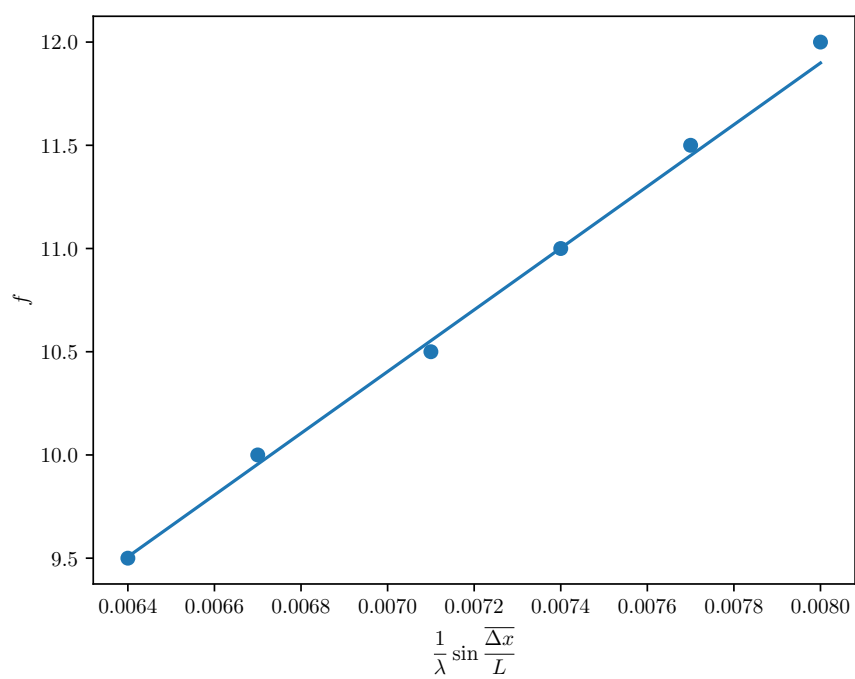


图 4: 光声光栅法测定水中声速的拟合直线图.

5 分析与讨论

为了达到减小误差的目的,在极值法中我们采用了逐差法处理数据,在相位法和光声光栅法中我们采用了最小二乘法处理数据,不确定度的计算方法都是利用其相应的不确定度公式代入数据计算.这两种方法各有优劣,逐差法计算简单,计算量少,充分利用了测量数据,得到的结果误差较小;最小二乘法则更为精确,其不确定度最小,更为直观,拟合直线可用于内插和外推,但计算量大.我们应根据情况选择适宜的方法,计算资源充足、时间充足、拟合直线的斜率和截距易于计算时,可选用最小二乘法;若时间不充足,计算资源不充分,也可用逐差法,减小计算量.另外,当需要对数据进行内插和外推时,也应采用最小二乘法.

我们测定空气中声速的 5 个结果如下所示:

$$v_1 = (352.5 \pm 1.4) \text{ m/s},$$

$$v_2 = (355.0 \pm 1.7) \text{ m/s},$$

$$v_3 = (349.3 \pm 0.4) \text{ m/s},$$

$$v_4 = (349.4 \pm 0.4) \text{ m/s},$$

$$v_5 = (347.4 \pm 0.6) \text{ m/s}.$$

以气体参量法(即 v_5)所测数据作为真实值,我们可以发现:极值法所测数据误差较大、不确定度较高,而相位法所测数据误差较小、不确定度较低.这是为什么呢?我总结的原因有以下几点.

- 极值法测定空气中的声速时,我们需要判断接收端电压振幅在何处取得极大值,并且尽量朝一个方向调整接收端位置.这就会带来较大的误差,首先电压振幅取极大值的位置便很难准确判断,因为接收端声压振幅的表达式为

$$|p(l)| = \frac{\rho_0 \omega v a}{|\sin kl|},$$

其在极大值点的位置导数为 0.也就是说,极大值点附近一段长度内接收端声压振幅的变化都不大,很难准确判断极大值点的位置.其次,我们在调整接收端位置时只向一个方向调整,很难判断振幅是否已经取到了极大值;而反复来回调节,又可能带来回程差.故极值法的实验中误差较大.

- 极值法的实验采用逐差法处理数据,如前所述,逐差法的准确性不如最小二乘法,这或许也是后者的实验结果更准确的原因.
- 相位法测定空气中的声速时,通过观察李萨如图形来记录位置,当李萨如图形由椭圆变为相同的直线时,记录接收端位置.在示波器的显示屏上,我们只需要观察椭圆的上下两部分曲线,当它们合并为一条相同直线时,即为所求位置.而这是比较容易准确判断的,也不需要反复来回调节接收端位置,故较为准确.

- 相位法的实验采用最小二乘法处理数据, 不确定度较小, 也是原因之一.

6 思考题

1. 能用人耳可听到的声波作为发射波吗?

不可以. 人耳可听到的声波频率较小, 约为 $20-20000\text{ Hz}$, 这也意味着其波长较大. 即使以 20000 Hz 计, 其波长也达到了 17 mm . 而我们实验所用仪器的测量长度是有限的, 波长越大, 我们每次移动接收端的距离也越大, 会超过仪器的测量范围, 所能测到的数据点就较少, 误差较大.

2. 如何手动调整示波器方便极值和图像读取?

例如, 我们可以将“显示”设置中的“持续”调整为“无限”, 这样之前示波器上显示过的波形就会以较浅的颜色停留在屏幕上, 方便我们判断极值和相位.

3. 如何估算和测量回程差大小?

在极值法和相位法中, 我们均将接收端向两个方向移动测量了数据. 在同一个取极大值或特定相位的位置, 计算两个方向所测的位置之差, 即为回程差.

4. 驻波和行波两个原理为什么可以共用?

实际上在发射器和接收器之间存在的是驻波和行波的叠加. 行波的振幅为定值, 故极值法中可以只考虑驻波; 而驻波在 $x = l$ (即接收器位置) 处恒为波腹, 且随距离增大而衰减, 故相位法中可以只考虑行波.

5. 极值出现的位置和相位法中的相位差有什么关系? 实际测量时是否符合预期?

极值法中, 当

$$|p(l)| = \frac{\rho_0 \omega v a}{\sin kl}$$

取极大值时记录位置, 而相位法中, 当

$$p(l) = -\rho_0 v \omega a \sin(\omega t - kl)$$

的相位为 ωt 时记录位置. 由公式可知, 极值法中的位置要么和相位法中的位置重合, 要么在两个相位法的位置中间. 由表 1、3 或表 2、4 观察, 确实如此.

6. 极值法中多极值出现的原因是什么?

由接收端的声压公式

$$|p(l)| = \frac{\rho_0 \omega v a}{\sin kl}$$

知, $|p(l)|$ 随 l 变化的周期为 $\frac{\lambda}{2}$, 即

$$\left| p\left(l \pm \frac{\lambda}{2}\right) \right| = |p(l)|,$$

故每当 l 变化 $\frac{\lambda}{2}$, 接收端电压振幅即取得极值.

7 收获与感想

声波的速度是无法直接测量的, 本次实验让我学到了如何更准确地进行间接测量, 以及测量之后如何处理数据, 使得不确定度尽可能地小. 通过极值法和相位法的误差对比, 我也认识到测量某个物理量可能有多种方案, 每种方案在理论上都是准确的, 但实际操作过程中的误差却不尽相同. 例如, 极值法中, 理论上只需记录接收端电压取得极大值的位置即可准确测量声速, 但判断极大值是否取到、在何处取到是十分困难的, 这就带来了误差. 我们在设计实验方案时不仅要考虑理论, 也要联系实际情况, 减小人为因素带来的误差.

参考文献

- [1] 吕斯骅, 段家祗, 张朝晖. 新编基础物理实验[M]. 北京: 高等教育出版社, 2006.
- [2] 钟锡华. 现代光学基础[M]. 北京大学出版社, 2012.